

## ヒトアデノウイルス5型及び12型E1Aキメラ 組換え体の機能解析

浜 松 千 秋

札幌医科大学内科学第3講座

(主任 鈴木 明 教授)

澤 田 幸 治

札幌医科大学付属がん研究所分子生物学部門

(主任 藤永 蕉 教授)

### Functional Analyses of Human Adenovirus Types 5 and 12 Chimeric Early Region 1A Recombinants

Chiaki HAMAMATSU

Department of Internal Medicine (Section 3), Sapporo Medical College

(Chief : Prof. A. Suzuki)

Yukiharu SAWADA

Department of Molecular Biology, Cancer Research Institute, Sapporo Medical College

(Chief : Prof. K. Fujinaga)

**ABSTRACT** Human adenoviruses have the ability to transform rodent cells *in vitro*. They are classified into several subgroups based on their tumorigenicity *in vivo* and DNA sequence homology. Thus, the adenoviruses offer a valuable system with which transforming ability and tumorigenic potential can be analysed comparatively between oncogenic and non-oncogenic serotypes in terms of molecular genetics and molecular biology.

In order to analyse the transforming E1A genes of human adenoviruses, we constructed four chimeric E1A genes between non-oncogenic type 5 and highly oncogenic type 12 using restriction sites. They are i) type NI composed of type 12 first exon and type 5 second exon of the E1A genes, ii) type C with type 5 first exon and type 12 second exon, iii) type N carrying the N-terminal half of type 12 first exon and the rest from type 5 sequence, and iv) type NC composed of type N first exon and type 12 second exon.

By analyses of transcriptional regulatory activity and transforming activity of these chimeric E1A genes, the following results were obtained.

- 1) All the chimeric E1A genes exhibited transcriptional activation, showing the E1A sequences of Ad 5 and Ad 12 are interconvertible.
- 2) Type NI showed the strongest transcriptional activation among the four chimeric E1A genes.
- 3) Only type C showed weak transcriptional repression.
- 4) Types NI and C, but not types N or NC, showed the transforming ability on the established rat cell line 3Y1.
- 5) Primary baby rat kidney cells were transformed only by type C chimeric E1A gene.
- 6) The above results suggest the presence of interaction between intramolecular subregions of the E1A gene product.

(Received December 9, 1988 and accepted December 19, 1988)

**Key words:** Adenovirus E1A, Chimeric genes, Transcriptional regulation, Cell transformation

## 1 緒 言

ヒトアデノウイルス（以下アデノウイルス）はウイルス遺伝子間の相同性等により、現在 A～F の 6 つの亜群に分類されている<sup>1)</sup>。新生ハムスターに接種すると、A 亜群は強発癌性、B 亜群は弱発癌性、C, D, E, F の各亜群は非発癌性である<sup>2)</sup>。in vitro 系においては、すべての群がげっ歯類の培養細胞をトランスフォームする能力がある<sup>3)</sup>。

増殖感染細胞におけるアデノウイルスゲノムの発現は、DNA 複製開始前の感染初期と DNA 複製開始後の感染後期の 2 相に分けられる。感染初期にはウイルスゲノム上の 7 つの領域、すなわち E1A, E1B, E2A, E2B, E3, E4, 及び EL が発現する<sup>4)</sup>。これらの初期領域の左端にある E1A 及び E1B 領域は、非許容性細胞においてはトランスフォーム遺伝子として機能し、細胞のトランスフォーメーションに密接な関連をもつ複数のタンパクをコードしている<sup>5,6)</sup>。さらに E1A 遺伝子は、その遺伝子産物であるタンパクを介して空間的に離れた遺伝子の転写プロモーターに働く（trans に働くという）、転写を調節することが明らかになった。すなわち、他のウイルス DNA 初期領域<sup>7)</sup>並びに熱誘導タンパク遺伝子<sup>8)</sup>、β-チュープリン遺伝子<sup>9)</sup>等の細胞遺伝子の転写促進(transactivation)、及びエンハンサーをもつ遺伝子の転写抑制(transrepression)機能をもつ<sup>10,11)</sup>。最近になり、E1A 遺伝子がもつこれらの諸機能について、それぞれに関与する独立した遺伝子内領域の解析がすすめられ、E1A 領域がさらに機能的に大きく 3 つのドメインから成ることが分かってきた<sup>12,13)</sup>。

われわれは非発癌性 C 亜群 5 型と強発癌性 A 亜群 12 型の E1A 領域のキメラ組換え体を作製し、1) 転写調節活性（転写促進及び転写抑制活性）、2) トランスフォーメーション活性について調べ、各機能に関与する遺伝子内領域の解析とそれらの相互関係について検討した。

## 2 材料及び実験方法

### 2・1 アデノウイルス 5 型/12 型 E1A キメラ組換え体の作製

#### 2・1・1 大腸菌、プラスミド、及び酵素類

プラスミドのクローニングには 2 種類の大腸菌、MC1061 株及び DH5 株を用いた。

ベクタープラスミドとして、pUC118 及び pML2

(pBR322 の欠損誘導体) を用いた。

制限酵素は *KpnI*, *EcoRI*, *HindIII*, *AccI*, *HinfI* (宝酒造株式会社), *AvaII*, *XbaI*, *HgiAI* (New England Biolabs 社), *SacI* (Bethesda Research Laboratories 社) の各酵素を使用した。フラグメントの突出末端のヌクレオチド付加による平滑化に Klenow fragment (Boehringer Mannheim 社) を、ヌクレオチド除去による平滑化には S1 nuclease (Bethesda Research Laboratories 社) を使用した。

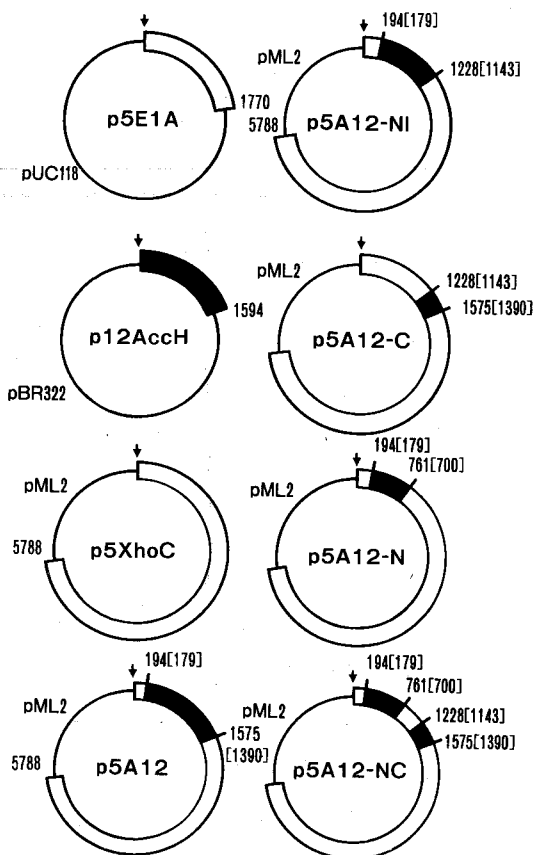
フラグメントの結合には DNA ligation kit (宝酒造株式会社) を使用した。

#### 2・1・2 組換え体のクローニング

作製した組換え体は、いずれもアデノウイルス（以下 Ad5 型及び 12 型のキメラ構造の E1A 領域と Ad5 型の野生株(wt) の E1B 領域をもつ(p5A 12<sup>14</sup>) シリーズ）。1) E1A 領域内の Ad12 型部分の占める位置が E1A 領域の第 1 エクソン部分のもの(p5A 12-NI), 2) 第 2 エクソン部分のもの(p5A 12-C), 3) 第 1 エクソンの N 末端側約半分のもの(p5A 12-N), 及び 4) 2) と 3) を併せもつもの(p5A12-NC) の 4 種類である。ここで N, I, C はそれぞれ E1A 遺伝子コード領域中の N 末領域、中間領域、C 末領域を表わす (Fig. 1)。

1) Ad12E1A 領域(0-1597 ヌクレオチド)をもつ p12AccH の *KpnI-AvaII* フラグメントと Ad5E1A 領域(0-1343 ヌクレオチド)をもつ p5XbaE の *AvaII-XbaI* フラグメントを、*KpnI* 及び *XbaI* で切断したベクター pUC118 と結合して pNI を作製した。この pNI の *KpnI-XbaI* フラグメントと Ad5E1A 領域(192-1572 ヌクレオチド)を Ad12E1A 領域(179-1390 ヌクレオチド)に置換したプラスミド p5A12<sup>14</sup> の *EcoRI-KpnI* フラグメントを、Ad5E1A 及び E1B 領域(0-5788 ヌクレオチド)をもつ p5XhoC の *EcoRI-XbaI* フラグメントと結合して p5A12-NC を作製した。

2) Ad12E1A と E1B の一部に加えて Ad12E1B からのポリ A 領域(3706-4435 ヌクレオチド)をもつ p12GpA を *EcoRI* 及び *HindIII* で切断し、p5XhoC の *EcoRI-HindIII* フラグメントと結合して p5GpA を作製した。p5A12 の *AvaII-SacI* フラグメントと p5XbaE の *AccI-AvaII* フラグメントを p5GpA の *AccI-SacI* フラグメントと結合して p5G-A12C を作製した。この p5G-A12C の *EcoRI-HindIII* フラグメントと p5XhoC の *EcoRI-HindIII* フラグメントを結合して p5A12-C を作製した。



**Fig. 1** Structure of recombinant plasmids. p5E1A and p5XhoC contain the left-most 1770 and 5788 nucleotides (nt), respectively, of Ad5. p12AccH contains the left-most 1599 nt of Ad12. p5A12 contains the whole Ad12 E1A region (nt 179 to 1392) in place of the whole Ad5 E1A region (nt 192 to 1574). p5A12-NI contains the first E1A exon of Ad12 (nt 179 to 1143) in place of the corresponding region (nt 192 to 1228) of Ad5. p5A12-C contains the second E1A exon of Ad12 (nt 1143 to 1392) in place of the corresponding region (nt 1228 to 1574) of Ad5. p5A12-N contains the upstream control region and the N-terminal portion of the first E1A exon of Ad12 (nt 179 to 700) in place of the corresponding E1A region (nt 192 to 761) of Ad5. p5A12-NC contains the chimeric first E1A exon of p5A12-N and the second E1A exon of Ad12. Open box indicates Ad5 sequence and solid box shows Ad12 sequence.

3) p12AccH の *Hgi*AI フラグメントを *Hinf*I により不完全消化し、Klenow fragment で末端平滑化後に *Kpn*I で切断したフラグメント、及び p5XbaE の *Hinf*I 断片を S1 nuclease で末端平滑化後に *Xba*I で切断し

たフラグメントを、*Kpn*I 及び *Xba*I で切断した pUC118 と結合して pN を作製した。pN の *Kpn*I-*Xba*I フラグメントと p5A12 の *Eco*RI-*Kpn*I フラグメントを *Eco*RI 及び *Xba*I で切断した p5XhoC に結合して p5A12-N を作製した。

4) p5A12-N の *Eco*RI-*Acc*I フラグメント、及び p5A12-C の *Acc*I-*Hind*III フラグメントを *Eco*RI 及び *Hind*III で切断した p5XhoC に結合して p5A12-NC を作製した。

なお、Fig. 1において組換え体のクローニングの際、フラグメントの制限酵素による切り出し、末端処理後の連結によって、制限酵素の切り出し点と作製したプラスミド中の接合点の塩基番号が異なっている。

## 2・2 転写調節活性の測定

### 2・2・1 細胞及びトランスフェクション

HeLa 細胞は 5% ウシ胎児血清を加えたダルベッコ変法イーグル (DME) 培地 (Flow Laboratories 社) で培養した。トランスフェクションの前日に細胞数約  $3 \times 10^6$ /100mm プレートに細胞密度を調整した。

トランスフェクションはリン酸カルシウム沈殿法<sup>15,16</sup>によった。250  $\mu$ l のプラスミド DNA(chloramphenicol acetyltransferase (CAT) 遺伝子をもつプラスミド DNA 10  $\mu$ g と AdE1 プラスミド DNA 10~20  $\mu$ g) 溶液に 250  $\mu$ l の 0.5 M 塩化カルシウム溶液、及び 500  $\mu$ l の 50 mM HEPES (N-2-hydroxyethylpiperazine-N'-2-ethanesulfonic acid)•280 mM NaCl•1.4 mM リン酸緩衝液 (HEPES リン酸緩衝液) を加えて攪拌した後、室温で 30 分間静置した。この溶液 1 ml を 100 mm プレートに加え 37°C で数時間培養した後に、トランスフェクションの効率を高める目的で 25% グリセリン加 DME によるグリセリン処理を数分行った。その後細胞層を培地で洗浄し、10% ウシ胎児血清を含む培地により一晩 37°C で培養した。

CAT プラスミドとして、転写促進活性の測定には CAT 遺伝子の上流に Ad5 型 E3 プロモーター領域を、下流に SV40 ウィルスのスプライス及びポリ A 付加領域をもつ pKCAT23<sup>17</sup> を用いた。転写抑制活性の測定には CAT 遺伝子上流に SV40 ウィルスの初期プロモーター領域を、さらにその上流にポリオーマウィルスのエンハンサー領域をもつ pA<sub>10</sub>CATp<sub>Y</sub><sup>18</sup> を用いた。

### 2・2・2 chloramphenicol acetyltransferase (CAT) 活性の測定

CAT は哺乳類細胞には存在しないが、上記の CAT 遺伝子発現ベクターを哺乳類細胞にトランスフェクトすると、一過性に細胞内で CAT 遺伝子が発現する。ト

トランスフェクション後 48 時間目の HeLa 細胞を集め、その抽出液中の CAT 活性を測定した。測定法は Gorman らの方法<sup>19)</sup>に基づいて行った。

phosphate-buffered saline で洗浄した細胞を集めて 100  $\mu l$  の 0.25 M Tris-HCl (pH 8.0) に懸濁し、液体窒素を用いた凍結破碎により細胞抽出液を得た。抽出液の吸光度 ( $OD_{280}$ ) を測定し、各実験毎にサンプル間の推定タンパク量を統一した（ウシ血清アルブミン換算で 41~121.5  $\mu g$  相当）。50  $\mu l$  の細胞抽出液に 8  $\mu l$  の [ $^{14}C$ ] chloramphenicol (54mCi/mmol; Amersham 社), 30  $\mu l$  の H<sub>2</sub>O, 10  $\mu l$  の 1M Tris-HCl (pH 7.5), 及び 2  $\mu l$  の 40 mM acetyl coenzymeA (Pharmacia 社) を加え、37°Cで 30 分間反応させた。氷上で反応を停止し、反応液に 0.6 ml の酢酸エチルを加え攪拌した後に、有機層を取り出し真空ポンプで乾燥させた。再び 20  $\mu l$  の酢酸エチルに溶かしたサンプルを、シリカゲル薄層クロマトグラフィー・プレート (Merck 社) 上に spot し、クロロホルム-メタノール (95:5) で 1 時間展開後にオートラジオグラフィーを行った。放射活性を示すシリカゲル部分を集めてカウントした。

### 2・3 トランスフォーメーション活性の測定

#### 2・3・1 細胞及びトランスフェクション

細胞はラット樹立細胞株の 3Y1 細胞、及び初代培養細胞の baby rat kidney (BRK) 細胞を用いた。BRK 細胞は、生後 5 日目の Fisher rat の腎臓を取り出し、collagenase (和光純薬株式会社) - dispase (合同酒精) 处理によって得られた。細胞の培養には 5% ウシ胎児血清を加えた DME 培地を用いた。

トランスフェクションは細胞数を約 5 × 10<sup>5</sup>/60mm プレートに調整した後に、前述のリン酸カルシウム法により行った。

3Y1 細胞のトランスフェクションには、100  $\mu l$  の DNA 溶液 (AdE1 プラスミド DNA 1~4  $\mu g$  とニシン精巢の DNA 16~17  $\mu g$ ), 100  $\mu l$  の塩化カルシウム溶液、及び 200  $\mu l$  の HEPES リン酸緩衝液を加えた溶液 400  $\mu l$  を 30 分間室温で静置後細胞培養液に加え、37°Cで培養した。

BRK 細胞のトランスフェクションには、AdE1 プラスミド DNA 5  $\mu g$  とヒト膀胱癌 EJ 細胞から分離した細胞癌遺伝子、*Ha-ras-1*<sup>20)</sup> の DNA 1  $\mu g$  を用いた。3Y1 細胞のトランスフェクションと同様、DNA 溶液、塩化カルシウム溶液、及び HEPES リン酸緩衝液から成る 400  $\mu l$  の溶液を静置後細胞培養液に加え、37°Cで培養した。

トランスフェクション後 24 時間以内に細胞層を培地

### ADENOVIRUS E1 REGION

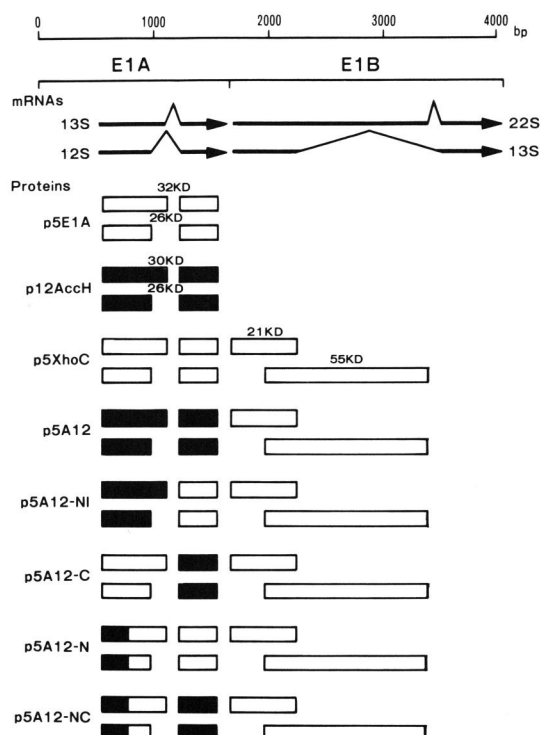


Fig. 2 Schematic representation of E1 mRNAs and proteins encoded by recombinant plasmids. The top line represents the left-end portion of the Ad genome demarcated in kilobase pairs. The exon of the E1 mRNA is represented by the bold line. The arrowhead indicates the 3' end of the mRNA. The predicted structure of the wild type and the chimeric protein are shown by the open box for Ad5 sequence and by the solid box for Ad12 sequence.

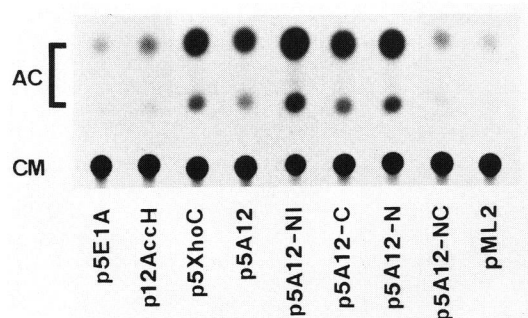


Fig. 3 Expression of E3-CAT plasmid in HeLa cells transfected together with pML2 (control) and various E1 alleles. The position of chloramphenicol (CM) and its acetylated forms (AC) are shown.

**Table 1** Transactivation of Ad E3 promoter. CAT activities expressed in the presence of various E1 genes are shown by relative amounts of acetylation products as compared to that of control experiment in the presence of pML2.

Plasmid	CAT activity					
	Exp 1	Exp 2	Exp 3	Exp 4	Exp 5	Average
p5E1A	ND <sup>a)</sup>	ND	ND	1.35	1.80	1.58
p12AccH	4.94	2.20	1.47	ND	1.44	2.51
p5XhoC	16.23	3.93	10.61	8.90	9.20	9.77
p5A12	7.70	3.23	7.63	18.43	5.40	8.48
p5A12-NI	20.96	28.19	24.72	77.83	15.31	33.40
p5A12-C	15.92	4.72	2.60	47.35	7.07	15.53
p5A12-N	7.43	4.37	3.36	46.15	4.62	13.19
p5A12-NC	3.24	1.92	2.52	7.77	1.78	3.45
pML2	1.00	1.00	1.00	1.00	1.00	1.00

a) ND; Not done.

で洗浄し培地交換をした後は、3日毎に培地を交換した。

### 2・3・2 トランスフォーム細胞の検出

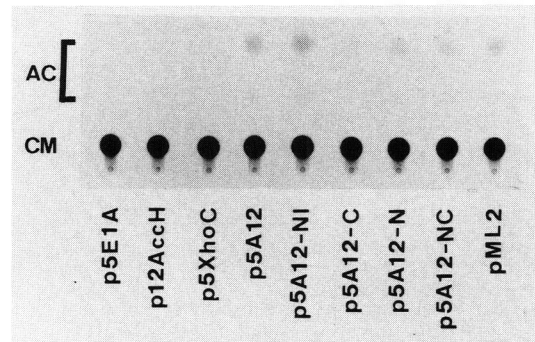
3Y1及びBRK細胞はトランスフェクション後3~4週間培養した後、ギムザ染色をしてフォーカス出現の有無を光学顕微鏡で確認した。

## 3 成 績

### 3・1 アデノウイルス5型/12型E1Aキメラ組換え体の構造

Ad5型E1A領域からは、単一のプロモーターより転写される12S, 13S, 9Sの3種類のmRNAが合成される。感染初期の細胞やトランスフォーム細胞中に検出されるE1AmRNAは主に13Sと12SmRNAで、9SmRNAは感染後期の細胞中に見い出される<sup>21)</sup>。E1A13SmRNAと12SmRNAは、共通のアミノ酸読み取り枠を利用するが、インtronの違いによって生ずる内部の46アミノ酸の有無のみが異なり、それぞれ32K(289アミノ酸)と26K(243アミノ酸)のポリペプチドをコードしている。Ad12型E1A領域も、基本的には5型と同様の構成である。Ad12型E1AmRNAは、二つの転写開始点、二つのスプライスドナー部位の組み合せにより4種類あるが、5型の場合と同様、インtronの大きさの違いにより30K(266アミノ酸)と26K(235アミノ酸)の二つのペプチドをコードしている<sup>22)</sup>(Fig. 2)。

本実験に用いたプラスミドのAdE1A構造は以下の通りである。1) p5XhoCのE1AはwtのAd5型E1A, 2) p5A12のE1AはwtのAd12型E1A, 3) p5A12-



**Fig. 4** Expression of CAT gene dependent on polyoma virus enhancer in the presence of various E1 genes and pML2 (control).

**Table 2** Transrepression of polyoma virus enhancer. Relative CAT activities expressed in the presence of various E1 genes are shown.

Plasmid	CAT activity		
	Exp 1	Exp 2	Average
p5E1A	ND <sup>b)</sup>	0.12	0.12 <sup>a)</sup>
p12AccH	0.56	0.60	0.58
p5XhoC	0.62	0.46	0.54
p5A12	1.02	0.44	0.73
p5A12-NI	1.02	1.36	1.19
p5A12-C	0.48	0.31	0.40
p5A12-N	1.29	2.88	2.09
p5A12-NC	1.25	1.55	1.40
pML2	1.00	1.00	1.00

a) The number is the result of exp. 2.

b) ND: Not done.

NIは第1エクソン(NI領域)が12型で第2エクソン(C領域)が5型のE1A構造、4) p5A12-Cは前者と逆に第1エクソンが5型で第2エクソンが12型のE1A構造、5) p5A12-Nは第1エクソンのN末端から700ヌクレオチドまで(N領域)が12型、それ以降(I領域、C領域)は5型(761ヌクレオチド)のE1A構造を、6) p5A12-NCは第1エクソンはp5A12-Nと同様の構造をもつが、第2エクソンが12型のE1A構造をもっている。以上の6種類のプラスミドはE1B領域については共通で、wtのAd5型E1B構造をもつてい

**Table 3** Focus formation on 3Y1 cells. Listed are the numbers of foci based on counts of 5 dishes 4 weeks after transfection.

Plasmid	No. of foci/5dishes		
	Exp 1 <sup>a)</sup>	Exp 2 <sup>b)</sup>	Exp 3 <sup>c)</sup>
p5E1A	ND <sup>d)</sup>	407	20
p12AccH	71	126	21
p5XhoC	337	814	193
p5A12	99	308	19
p5A12-NI	235	533	138
p5A12-C	197	452	98
p5A12-N	0	0	0
p5A12-NC	0	0	0
pML2	0	0	0

a) 1μg DNA.

b) 4μg DNA and 16μg carrier DNA.

c) 3μg DNA and 17μg carrier DNA.

d) ND; Not done.

**Table 4** Focus formation on primary BRK cells. Various Ad E1 genes were transfected with or without the activated H-ras gene. Numbers of foci are shown based on counts of 5 dishes 3 weeks after transfection.

Plasmid	No. of foci/5 dishes			
	Exp 1 <sup>a)</sup>		Exp 2 <sup>a)</sup>	
	ras	ras	ras	ras
p5E1A	-	+	-	+
p5E1A	101	135	16	42
p12AccH	1	0	1	0
p5XhoC	158	261	95	176
p5A12	0	0	0	0
p5A12-NI	0	0	0	0
p5A12-C	87	157	64	101
p5A12-N	0	1	1	6
p5A12-NC	0	3	0	1
pML2	0	0	0	4

a) 5μg DNA and 1μg ras DNA.

る(Fig 2).

### 3・2 転写調節活性の測定

#### 3・2・1 転写促進活性

プラスミドpKCAT23はCAT遺伝子の上流にAd5型E3プロモーターが組み込まれているため、AdE1AプラスミドとともにHeLa細胞にトランسفェクトすると、AdE1Aの転写促進活性によりAdE3プロモーター活性が促進され、その結果CAT活性が上昇する。

本実験に用いたAdE1組換え体によるCAT活性の発現促進効果はFig. 3, Table 1に示す通りである。CAT活性の測定法の項で述べた通り、HeLa細胞中に一過性に発現したCATの作用で [<sup>14</sup>C] chloramphenicol がアセチル化を受ける。薄層クロマトグラフィーによりこの反応産物を分離し、全体の放射活性に占める百分率を求めた。さらに、AdE1領域をもたないプラスミドpML2共存下の値を基準値(1.00)とし、それぞれのプラスミド存在下における相対値を示したのがTable中の数値である。

Ad12型E1Aのみをもつp12AccHと12型E1A及び5型E1Bをもつp5A12とでは、前者に比べ後者で高いCAT活性がみられた。同様に、5型E1Aのみをもつp5E1Aと5型E1A及びE1Bをもつp5XhoCとでは、前者に比べ後者で高い活性がみられた。5型/12型キメラ組換え体では、p5A12-NIがp5XhoCよりも高い活性を示し、実験に用いたプラスミド中で最も高い値であった。p5A12-C及びp5A12-Nはp5XhoC、p5A12と同様、中等度の活性を示し、p5A12-NCのCAT活性はキメラ組換え体の中では一番低く、p12AccHと同程度であった。

#### 3・2・2 転写抑制活性

プラスミドpA<sub>10</sub>CAT<sub>py</sub>はCAT遺伝子の上流にポリオーマウイルスのエンハンサーが組み込まれているため、AdE1Aを発現するプラスミドとともにHeLa細胞にトランسفェクトすると、AdE1Aの転写抑制活性によりポリオーマウイルスのエンハンサー活性が抑制され、その結果CAT活性が低下する。

本実験に用いたAdE1A組換え体によるCAT活性発現調節効果はFig. 4, Table 2の通りである。Table中の数値は、転写促進活性と同様の方法で記載されている。

CAT活性の低下は、p5E1A、p12AccH、p5XhoC、p5A12及び5型/12型キメラ組換え体のp5A12-Cで認められた。他のキメラ組換え体ではCAT活性の有意な低下はみられなかった。

### 3・3 トランسفォーメーション活性の測定

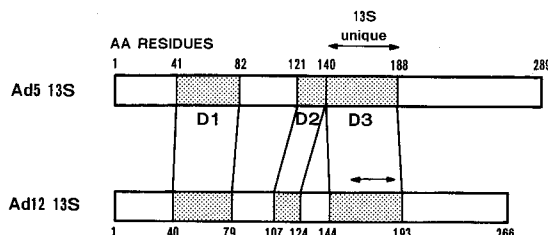


Fig. 5 Schematic representation of conserved amino acid sequences of E1A gene products between different serotypes. Stippled boxes show three conserved regions D1, D2 and D3. The number on the border of the region indicates the position of the amino acid residue relative to the N-terminal residue shown by the number 1.

### 3・3・1 樹立細胞株(3Y1細胞)のトランスフォーメーション

Table 3に示した数値は、各プラスミドのトランスフェクションによって形成されたトランスフォーム細胞のフォーカス数の合計値(各プレート5枚)である。

5型、12型のE1Aのみをもつp5E1A、p12AccHと、両者にそれぞれ5型E1Bが加わったp5XhoC、p5A12でフォーカス形成がみられた。5型/12型キメラ組換え体の中では、p5A12-NIとp5A12-Cがp5A12より高いフォーカス形成能を示した。p5A12-N、p5A12-NCにはフォーカス形成が認められなかった。

### 3・3・2 初代培養細胞(BRK細胞)のトランスフォーメーション

E1A遺伝子は活性型ras細胞癌遺伝子とともにBRK細胞に導入された場合、これを完全にトランス

フォームすることが知られている<sup>23,24,25)</sup>。本実験では活性型ras癌遺伝子の共存下と非共存下におけるフォーカス形成を比較した。Table 4に示した数値は、3Y1細胞のトランスフォーム実験と同様、トランスフォーム細胞のフォーカス数の合計値(各プレート5枚)である。

5型E1Aのみをもつp5E1Aと5型E1Bをもつp5XhoCとでフォーカス形成がみられたのに対し、12型E1Aのみをもつp12AccHと12型E1A、5型E1Bをもつp5A12とではフォーカス形成がほとんどみられなかった。5型/12型キメラ組換え体の中では、p5A12-Cのみがフォーカス形成能を示し、他の組換え体ではフォーカス形成はほとんどみられなかった。フォーカス形成がみられた組換え体は構造上、いずれも5型E1Aの第1エクソンをもち、しかもras癌遺伝子とともにトランスフェクトしたときに、フォーカス形成能は高くなかった。

## 4 考 察

アデノウイルスの初期遺伝子E1Aの主要な機能の一つに、その遺伝子産物であるタンパクを介して、ウイルスゲノム上の他の初期領域や細胞遺伝子の転写を促進あるいは抑制して調節することがある。このアデノウイルスE1A領域による転写調節については5型を用いた研究が多く、明らかにされたことのうち主要なものは以下の通りである。

アデノウイルスE1A遺伝子中には、血清型間でコードされるアミノ酸配列がよく保存されている領域が3箇

Table 5 Summary of Ad E1 mutant phenotypes. Mutants are characterized by serotypic origin of coding regions and phenotypes. 5 denotes Ad5 sequences and 12 indicates Ad12 sequences.

Plasmid	E1A			E1B			Transformation	
	Exon 1			Exon 2				
	Domain 1	Domain 2	Domain 3		Trans-activation	Trans-repression	3Y1	BRK
p5E1A	5	5	5	5	—	+	+	+
p12AccH	12	12	12	12	—	+	+	+
p5XhoC	5	5	5	5	5	+	+	+
p5A12	12	12	12	12	5	+	+	—
p5A12-NI	12	12	12	5	5	+	—	+
p5A12-C	5	5	5	12	5	+	+	+
p5A12-N	12/5	5	5	5	5	+	—	—
p5A12-NC	12/5	5	5	12	5	—	—	—

所あり、これらの領域は E1A 遺伝子の本質的な機能に重要であると考えられている。これらの 3 領域は、ゲノム上の N 末端側からそれぞれ、ドメイン 1, ドメイン 2, 及びドメイン 3 と呼ばれている<sup>12,13)</sup>(Fig. 5)。このうち、ドメイン 1 と 2 でコードされるポリペプチド部分が転写抑制活性に関与することが明らかになった<sup>11)</sup>。転写抑制を受ける遺伝子はエンハンサーにより転写レベルが保たれているようなエンハンサー型遺伝子であり<sup>10)</sup>、また Ad12 型によるトランسفォーム細胞中では主要組織適合遺伝子複合体 (major histocompatibility complex; MHC) の発現が転写レベルで抑制されることが知られている<sup>26)</sup>。このドメイン 1 及び 2 領域はまた、トランسفォーメーション活性にも関与することが知られており<sup>27,28,29)</sup>、トランسفォーメーションの機構として、細胞増殖の調節機構の修飾や前述の MHC の転写抑制を含む細胞遺伝子の転写抑制による免疫応答の修飾などが関与する可能性が考えられている<sup>26,31)</sup>。一方、ドメイン 3 は、12SmRNA には存在しない 13 SmRNA に固有のアミノ酸配列コード領域であるが、この領域は他のアデノウイルス遺伝子初期領域や細胞遺伝子の転写促進活性に関与するポリペプチド部分をコードすると考えられている<sup>12,13,32)</sup>。

われわれが本実験で行ったアデノウイルス 5 型/12 型組換え体による転写調節活性及びトランسفォーメーション活性の測定結果をまとめたのが Table 5 である。転写調節活性のうち、転写促進活性に関しては、組換え単位とした E1A コード領域内の N, I, C の 3 つの部分は 5 型と 12 型との間で基本的に互換性であった。転写促進に関与するとされる E1A の第 1 エクソン I 領域内のドメイン 3 に注目すると、最も CAT 活性の高かった p5A12-NI のドメイン 3 は 12 型であり、p5A12-NI の構造中でドメイン 3 を含む E1A 第 1 エクソンの中間領域から C 末端にかけての I 領域を 5 型に置換した p5A12-N では、p5A12-NI に比べ活性が低下した。同様に E1A コード領域全体が 12 型である p5A12 と、I 領域のみを 5 型に置換した p5A12-NC とでは、後者で活性が低下した。一方、ドメイン 3 が同じ構造でも、E1A 第 2 エクソン(C 領域)が変化すると、活性が異なることが観察された。しかしながら、この第 2 エクソンについての血清型の影響は一定していなかった。例えば、p5A12 と p5A12-NI では、第 2 エクソンが 5 型の後者の活性が高く、p5XhoC と p5A12-C では、第 2 エクソンが 12 型の後者の活性が高かった。これらの結果は、転写促進活性がドメイン 3 を含む I 領域のみで規定されるのではなく、E1A コード領域内の他の構造部分との

間に強い相互作用が存在することを示唆するものである。今後、この分子内領域間の相互作用に関する解析を進めることができ E1A の多機能性の理解に必要であると考えられる。

転写抑制活性に関する実験では、p5E1A, p12AccH, p5XhoC, p5A12 及び p5A12-C で抑制活性がみられたが、転写抑制活性に関して血清型間の差やコード領域内の特定部分との相関は明らかではない。今後、12 S 遺伝子と 13 S 遺伝子の一方のみを発現する cDNA 組換え体や、E1B をもたない組換え体の使用を検討する必要があると考えられる。

アデノウイルス E1A 及び E1B 遺伝子産物の機能として、最も重要なのは発癌活性である。すなわち、*in vitro*においては培養細胞のトランسفォーメーションを引き起こし、これらのトランسفォームした細胞をヌードマウスや同系新生児に接種すると腫瘍形成がみられる。はじめにも述べたように、アデノウイルスの *in vivo* での造腫瘍性はトランسفォーム細胞の同系個体における造腫瘍性と同様に血清型によって異なり、強発癌性、弱発癌性、及び非発癌性に分類されている<sup>2)</sup>。

この血清型間で造腫瘍性の違いに関与する因子の解明のための研究も数多く行われている。*in vitro* の系では、非発癌性 5 型と強発癌性 12 型の E1A 及び E1B 領域からなるキメラ組換え体を用いて、BRK 細胞のトランسفォーメーション活性を比較する一連の実験が van der Eb らのグループによってなされている<sup>26,30,31,33)</sup>。その結果、細胞のトランسفォーメーション活性については 5 型が 12 型の約 20 倍高いこと<sup>33,34)</sup> や、トランسفォーメーション活性に重要なのは E1A 内の第 1 エクソン領域らしいこと<sup>31)</sup> などが明らかにされている。これらのが *in vitro* のトランسفォーム細胞の同系ラット新生児における造腫瘍性は 12 型 E1A に強く相關したが、この造腫瘍性に対する E1A 領域の機能としては、細胞性免疫機構を逃れる能力に関与するという説がたてられた。この説の根拠としては、転写抑制活性で触れたように、Ad12 型によるトランسفォーム細胞中では MHC の発現が転写レベルで抑制されているという事実があげられる。Ad5 型トランسفォーム細胞ではこの現象がみられなかった。以上のことより、Ad5 型 E1A 遺伝子を発現するトランسفォーム細胞は、免疫適格動物においては細胞性免疫機構によって排除されるために非発癌性であり、12 型 E1A 遺伝子を発現する細胞は、細胞性免疫に認識されるのに十分なクラス I 抗原を欠くために発癌性を示すとする説である<sup>26,31)</sup>。

われわれはトランسفォーメーション活性に関連す

ると考えられる E1A 領域内の構造をさらに詳しく検討するために、5型と 12型の E1A 内キメラ組換え体を用いて、樹立細胞株である 3Y1 細胞と初代培養細胞である BRK 細胞のトランスフォーメーション実験を行った。

3Y1 細胞を用いたトランスフォーメーション実験では、5型及び 12型の wtE1A をもつ p5E1A, p5XhoC, p12AccH, p5A12 はいずれもトランスフォーム能を示した。このうち、5型 E1B をもつ p5XhoC, p5A12 ではそれぞれ p5E1A, p12AccH よりもトランスフォーム活性が高く、E1B による増強効果が認められた。5型/12型 E1A キメラ組換え体では、E1A の第 1 エクソンが 12型、第 2 エクソンが 5型の p5A12-NI と、その反対に第 1 エクソンが 5型、第 2 エクソンが 12型の p5A12-C がトランスフォーム能を示した。しかし、p5A12-N と p5A12-NC ではフォーカス形成が認められなかった。N 領域と I 領域の組換え点がドメイン 1 内にあることから、ドメイン 1 の構造あるいはドメイン 1 とドメイン 2 または N 末端領域との間の相互作用の保持が、トランスフォーム活性に重要な役割を果たしている可能性があると考えられる。

BRK 細胞を用いたトランスフォーメーション実験の結果、トランスフォーム能を示したのは p5E1A, p5XhoC、及び p5A12-C で、いずれも E1A の第 1 エクソンが 5型であった。第 1 エクソンが 12型、あるいは第 1 エクソンの N 末端からの中間領域までが 12型である組換え体ではトランスフォーム能がほとんどみられなかった。これらの結果は、トランスフォーム能は 5型の方が 12型より強力で、E1A 内では第 1 エクソン領域が重要であるという van der Eb らの説に合致していた。

3Y1 及び BRK 細胞でみられた、培養細胞の違いによるトランスフォーム能の変化の原因としては BRK 紆胞のような初代培養細胞では、細胞の不死化のために一連の細胞遺伝子の発現の修飾が必要であることがあげられる。すなわち、12型 E1A では 5型 E1A に比べて BRK 細胞を不死化する機能が極めて弱いためと考えられる。5型の不死化機能はドメイン 2 に位置づけられている<sup>32)</sup>が、本実験の結果はのことと矛盾しない。

強発癌性 Ad12 型のウイルス接種による造腫瘍性は、E1A を 5型 E1A に置換することで完全に失われることが示されている<sup>14)</sup>。本実験で作製したキメラ E1A 遺伝子が、*in vivo* で腫瘍原性を示すかどうか、また E1A 依存性の血清型特異的な腫瘍特異移植抗原 (tumor specific transplantation antigen; TSTA) の発現<sup>35)</sup>にどのような効果をもつか、今後の課題として興味あるところである。

アデノウイルス E1A 遺伝子は、細胞癌遺伝子 *myc*, *myb*, *fos*, 細胞性腫瘍抗原 p53, ポリオーマウイルス大型 T 抗原遺伝子などのように細胞の核内で働く癌遺伝子であり、この癌遺伝子産物のもつ転写調節活性が細胞のトランスフォーメーションに重要な役割を果たしていると考えられる。最近、発癌抑制遺伝子と考えられている retinoblastoma (RB) 遺伝子産物が、E1A 遺伝子産物と複合体を形成することが報告されたところであり<sup>36)</sup>、今後、アデノウイルス E1A 癌遺伝子による細胞の発癌機構の研究を種々の変異遺伝子を用いて分子遺伝学的に解析するとともに遺伝子産物であるタンパクレベルですすめることは、他の DNA 型腫瘍ウイルスやレトロウイルス癌遺伝子、さらにはヒト癌遺伝子の研究とともに発癌機構の解明に重要な手がかりを与えるものと考えられる。

## 5 結 論

ヒトアデノウイルスの癌遺伝子である E1A の機能を解析する目的で、非発癌性 5型と強発癌性 12型の E1A を制限酵素切断部位を利用して交互に組換えて、4種類のキメラ E1A 遺伝子を構築した。それらは i) 12型第 1 エクソンと 5型第 2 エクソンから成る NI 型、ii) 5型第 1 エクソンと 12型第 2 エクソンから成る C 型、iii) 第 1 エクソンのコード領域の N 末端約 1/2 が 12型で他は 5型から成る N 型及び iv) N 型と同じ第 1 エクソンと 12型第 2 エクソンから成る NC 型である。

これらのキメラ E1A 遺伝子のもつ転写調節活性及びトランスフォーム活性を解析して次の結果を得た。

- 1) キメラ E1A はいずれも転写促進活性を示し、5型と 12型 E1A の対応部分は基本的に互換性であった。
- 2) NI 型に最も強い転写促進活性を認めた。
- 3) C 型についてのみ弱い転写抑制効果を認めた。
- 4) 株化 3Y1 細胞をトランスフォームする活性は NI 型と C 型に認められ、N 型と NC 型には認められなかった。
- 5) ラット腎初代細胞をトランスフォームする活性は C 型にのみ認められた。
- 6) 以上の結果から、E1A 遺伝子産物内部の各領域間に相互作用のあることが示唆された。

稿を終えるにあたり、御指導、御校閲いただいた藤永 蕙教授、鈴木 明教授に深く謝意を表します。

## 文 献

1. 藤永 蕙： がん遺伝子の分子生物学。 73. 講談社,

- 東京 (1985).
2. Wadell, G.: Molecular epidemiology of human adenoviruses. *Curr. Top. Microbiol. Immunol.* **110**, 191-220 (1984).
  3. van der Eb, A. J. and Bernards, R.: Transformation and oncogenicity by adenoviruses. *Curr. Top. Microbiol. Immunol.* **110**, 23-51 (1984).
  4. Flint, S. J.: Expression of adenoviral genetic information in productively infected cells. *Biochim. Biophys. Acta* **651**, 175-208 (1982).
  5. van der Eb, A. J., van Ormondt, H., Schrier, P. I., Lupker, J. H., Jochemsen, H., van den Elsen, P. J., DeLeys, R. J., Maat, J., van Beveren, C. P., Dijkema, R. and de Waard, A.: Structure and function of the transforming genes of human adenoviruses and SV40. *Cold Spring Harbor Symp. Quant. Biol.* **44**, 383-399 (1979).
  6. Lassam, N. J., Bayley, S. T. and Graham, F. L.: Transforming proteins of human adenovirus 5: studies with infected and transformed cells. *Cold Spring Harbor Symp. Quant. Biol.* **44**, 477-491 (1979).
  7. Jones, N. and Shenk, T.: An adenovirus type 5 early gene function regulates expression of other early viral genes. *Proc. Natl. Acad. Sci. USA* **76**, 3665-3669 (1979).
  8. Nevins, J. R.: Induction of the synthesis of a 70,000 dalton mammalian heat shock protein by the adenovirus E1A gene product. *Cell* **29**, 913-919 (1982).
  9. Stein, R. and Ziff, E. B.: HeLa cell  $\beta$ -tubulin gene transcription is stimulated by adenovirus 5 in parallel with viral early genes by an E1a-dependent mechanism. *Mol. Cell Biol.* **4**, 2792-2801 (1984).
  10. Borrelli, E., Hen, R. and Chambon, P.: Adenovirus-2 E1A products repress enhancer-induced stimulation of transcription. *Nature* **312**, 608-612 (1984).
  11. Velcich, A. and Ziff, E.: Adenovirus E1a proteins repress transcription from the SV40 early promoter. *Cell* **40**, 705-716 (1985).
  12. Zerler, B., Roberts, R. J., Mathews, M. B. and Moran, E.: Different functional domains of the adenovirus E1A gene are involved in regulation of host cell cycle products. *Mol. Cell Biol.* **7**, 821-829 (1987).
  13. Lillie, J. W., Loewenstein, P. M., Green, M. R. and Green, M.: Functional domains of adenovirus type 5 E1a proteins. *Cell* **50**, 1091-1100 (1987).
  14. Sawada, Y., Raska, K. Jr and Shenk, T.: Adenovirus type 5 and adenovirus type 12 recombinant viruses containing heterologous E1 genes are viable, transform rat cells, but are not tumorigenic in rats. *Virology* **166**, 281-284 (1988).
  15. Graham, F. L. and van der Eb, A. J.: A new technique for the assay of infectivity of human adenovirus 5 DNA. *Virology* **52**, 456-467 (1973).
  16. Wigler, M., Pellicer, A., Silverstein, S., Axel, R., Urlaub, G. and Chasin, L.: DNA-mediated transfer of the adenine phosphoribosyltransferase locus into mammalian cells. *Proc. Natl. Acad. Sci. USA* **76**, 1373-1376 (1979).
  17. Weeks, D. L. and Jones, N. C.: E1A control of gene expression is mediated by sequences 5' to the transcriptional starts of the early viral genes. *Mol. Cell Biol.* **3**, 1222-1234 (1983).
  18. Satake, M., Ibaraki, T. and Ito, Y.: Modulation of polyomavirus enhancer binding proteins by Ha-ras oncogene. *Oncogene* **3**, 69-78 (1988).
  19. Gorman, C. M., Moffat, L. F. and Howard, B. H.: Recombinant genomes which express chloramphenicol acetyltransferase in mammalian cells. *Mol. Cell Biol.* **2**, 1044-1051 (1982).
  20. Shih, C. and Weinberg, R. A.: Isolation of a transforming sequence from a human bladder carcinoma cell line. *Cell* **29**, 161-169 (1982).
  21. Pettersson, U., Virtanen, A., Perricaudet, M. and Akusjärvi, G.: The messenger RNAs from the transforming region of human adenoviruses. *Curr. Top. Microbiol. Immunol.* **109**, 107-123 (1983).
  22. 木村貴生, 澤田幸治, 藤永 蕉: アデノウイルス遺伝子の構造. *蛋白質・核酸・酵素* **27**, 2420-2439 (1982).
  23. Ruley, H. E.: Adenovirus early region 1A enables viral and cellular transforming genes to transform primary cells in culture. *Nature* **304**, 602-606 (1983).
  24. Jochemsen, A. G., Bernards, R., van Kranen, H. J., Houweling, A., Bos, J. L. and van der Eb, A. J.: Different activities of the adenovirus type 5 and 12 E1A regions in transformation with the EJ Ha-ras oncogene. *J. Virol.* **59**, 684-691 (1986).
  25. Zerler, B., Moran, B., Maruyama, K., Moomaw, J., Grodzicker, T. and Ruley, H. E.: Adenovirus E1A coding sequences that enable ras and pmt oncogenes to transform cultured primary cells. *Mol. Cell Biol.* **6**, 887-899 (1986).
  26. Schrier, P. I., Bernards, R., Vaessen, R. T. M. J., Houweling, A. and van der Eb, A. J.: Expression of class I major histocompatibility antigens

- switched off by highly oncogenic adenovirus 12 in transformed rat cells. *Nature* **305**, 771-775 (1983).
27. Montell, C., Courtois, G., Eng, C. and Berk, A.: Complete transformation by adenovirus 2 requires both E1A proteins. *Cell* **36**, 951-961 (1984).
  28. Lillie, J. W., Green, M. and Green, M. R.: An adenovirus Ela protein region required for transformation and transcriptional repression. *Cell* **46**, 1043-1051 (1986).
  29. Schneider, J. F., Fisher, F., Goding, C. R. and Jones, N. C.: Mutational analysis of the adenovirus Ela gene: the role of transcriptional regulation in transformation. *EMBO J.* **6**, 2053-2060 (1987).
  30. Bernards, R., Schrier, P. I., Bos, J. L. and van der Eb, A. J.: Role of adenovirus types 5 and 12 early region 1b tumor antigen in oncogenic transformation. *Virology* **127**, 45-53 (1983).
  31. Jochemsen, A. G., Bos, J. L. and van der Eb, A. J.: The first exon of region Ela genes of adenoviruses 5 and 12 encodes a separate functional protein domain. *EMBO J.* **3**, 2923-2927 (1984).
  32. Moran, E., Zerler, B., Harrison, T. M. and Mathews, M. B.: Identification of separate domains in the adenovirus E1A gene for immortalization activity and the activation of virus early genes. *Mol. Cell Biol.* **6**, 3470-3480 (1986).
  33. Bernards, R., Houweling, A., Schrier, P. I., Bos, J. L. and van der Eb, A. J.: Characterization of cells transformed by Ad5/Ad12 hybrid early region 1 plasmids. *Virology* **120**, 422-432 (1982).
  34. Jochemsen, H., Daniëls, G. S. G., Hertoghs, J. J. L., Schrier, P. I., van den Elsen, P. J. and van der Eb, A. J.: Identification of adenovirus-type 12 gene products involved in transformation and oncogenesis. *Virology* **122**, 15-28 (1982).
  35. Sawada, Y., Urbanelli, D., Raskova, J., Shenk, T. E. and Raska, K. Jr.: Adenovirus tumor-specific transplantation antigen is a function of the E1A early region. *J. Exp. Med.* **163**, 563-572 (1986).
  36. Whyte, P., Buchkovich, K. J., Horowitz, J. M., Friend, S. H., Raybuck, M., Weinberg, R. A. and Harlow, E.: Association between an oncogene and an anti-oncogene: the adenovirus E1A proteins bind to the retinoblastoma gene product. *Nature* **334**, 124-129 (1988).

別刷請求先 :

(〒060) 札幌市中央区南1条西16丁目

札幌医科大学内科学第3講座 浜松千秋